

บทที่ 2

พุทธิ

2.1 พลีกเชิงเดียวและการปููกพลีกเชิงเดียว⁽¹²⁾

พลีกเชิงเดียว (single crystal) คือพลีกที่ประกอบด้วยหน่วยเซลล์ (unit cell) ที่มีการเรียงตัวของอะตอมหรือโมเลกุลในลักษณะเดียวกันทั้งหมด การปููกพลีกเชิงเดียวอาจทำได้หลายวิธีขึ้นกับธรรมชาติของสาร จะได้กล่าวถึงต่อไปนี้^(13,14)

2.1.1 การปููกพลีกจากสารละลาย (crystal growth from solution)

เป็นการนำสารที่ต้องการปููกพลีกเชิงเดียวไปละลายในตัวทำละลายที่เหมาะสม แล้วปล่อยให้ตัวทำละลายระเหยไปอย่างช้าๆ เมื่อสารละลายอยู่ในสภาพอันตัวゆดจึง (supersaturated) สารละลายจะเกิดการตกตะกอน พลีกที่ได้มักจะเป็นพลีกเด็กๆ ที่ตกตะกอนอยู่ใต้ภาชนะ อาจจะใช้พลีกเม็ดเด็ก (seed crystal) เป็นเหยื่อต่อ โดยเฉพาะเช่นกับบริเวณจุดกึ่งกลางของสารละลาย พลีกจะมาเกาะอยู่รอบๆ พลีกเม็ดเด็กจะได้พลีกที่มีขนาดใหญ่ขึ้น

2.1.2 การปููกพลีกจากไอ (crystal growth from vapor)

เป็นวิธีการปููกพลีกที่นิยมใช้กับสารที่ระเหิดได้ และไม่ต้องใช้พลีกเม็ดเด็กมาเป็นเหยื่อต่อ โดยการนำสารที่ต้องการปููกพลีกเชิงเดียวไปใส่ไว้ในภาชนะปิดแล้วให้ความร้อนที่เพียงพอจนทำให้สารนั้นกล้ายเป็นไอ แล้วไอจะไปควบแน่นเป็นพลีกภายในบริเวณที่มีอุณหภูมิต่ำกว่าจุดระเหิด (sublime point)

2.1.3 การปููกพลีกจากสารหลอมเหลว (crystal growth from melt)

เป็นการทำให้สารที่จะใช้ในการปููกพลีกเชิงเดียวหลอมเหลวแล้วให้เย็นตัวลงอย่างช้าๆ เป็นอิควิวัทที่นิยมใช้กันในปัจจุบัน และมีหลายแบบ เช่น การหลอมเหลวสารที่จะปููกพลีกให้มีอุณหภูมิสูงกว่าจุดหลอมเหลวแล้วเทลงไปในหลอดแก้วปลาสเตร์ จากนั้นทำให้บริเวณปลาสเตร์

แหลมเป็นตัวลงจนทำให้เกิดการแข็งตัว ที่บริเวณปลายแหลมของหลอดแก้วซึ่งมีเนื้อที่จำกัดนี้ จะเป็นที่เกิดนิวเคลียสของผลึกอันแรกและไม่เลกุดของของเหลวจะมาเกาะแล้วแข็งตัวทำให้เกิดผลึกขนาดใหญ่ขึ้นเรื่อยๆ

วิธี crystal pulling เป็นการใช้ผลึกเม็ดเด็ก (seed crystal) จุ่มลงไปในของเหลวที่เกิดจากการหลอมละลาย (molten liquid) แล้วค่อยๆ ยกเม็ดผลึกขึ้น แล้วรอให้ของเหลวที่ติดขึ้นมากับเม็ดผลึกแข็งตัวติดกับเม็ดผลึกทำให้ได้ผลึกขนาดใหญ่ขึ้น แล้วทำซ้ำนี้ซ้ำๆ ต่อไปจนกว่า จะได้ผลึกเชิงเดียวขนาดที่ต้องการ

วิธี zone refining เป็นการปัจูกผลึกเชิงเดียวจากแท่งของ polycrystalline โดยผ่านความร้อนให้กับแท่ง polycrystalline ให้หลอมเหลวเป็นบางส่วน โดยการปรับอุณหภูมิให้พอเหมาะสม และอาศัยแรงดึงดูดของสารส่วนที่หลอมละลายทำให้แท่ง polycrystalline ไม่ขาดออกจากกัน แล้วค่อยๆ ดึงแท่งสารเข้าอย่างช้าๆ เพื่อเดือนบริเวณที่หลอมเหลวให้แท่งสารผ่านความร้อนในช่วงแคบ โดยทั่วถ้วน ถ้าอุณหภูมิที่ใช้หลอมเหลวและความเร็วในการดึงแท่งสารเหมาะสมจะทำให้แท่งสารกล้ายเป็นผลึกเดียวได้

ในงานวิจัยนี้จะปัจูกวิสเกอร์ MoO_3 โดยวิธีปัจูกผลึกจากไอ (growth from vapor) เพราะว่า MoO_3 เป็นสารที่ระเหิดได้ที่อุณหภูมิ 700°C ⁽¹⁵⁾ จึงเหมาะสมที่จะปัจูกผลึกโดยวิธีปัจูกผลึกจากไอ

2.2 การเกิดผลึกเชิงเดียว

ผลึกเชิงเดียว⁽¹⁶⁾ เกิดจากการเปลี่ยนแปลงสถานะของสาร (phase transition) เช่น การเปลี่ยนสถานะจากของเหลวเป็นผลึกเชิงเดียว หรือ การเปลี่ยนสถานะจากก๊าซเป็นผลึกเชิงเดียว ในระบบแรกการเกิดผลึกเชิงเดียวจะเกิดขึ้นเป็นหย่อมๆ และไม่สม่ำเสมอภายในสถานะเริ่มต้นนี้

การเกิดผลึกเชิงเดียวแบ่งเป็น 2 ขั้นตอน ขั้นแรกเรียกว่า นิวคลีอเรชัน (nucleation) ในขั้นตอนนี้จะมีการเกิดผลึกเล็กๆ ที่มีขนาดที่แน่นอน (certain critical size) ขั้นตอนที่ 2 คือการเจริญเติบโต (growth) โดยที่ก่ออุ่นผลึกขนาดเล็กที่เกิดจากระยะนิวคลีอเรชัน เกิดการเจริญเติบโตต่อไปจนได้ผลึกเชิงเดียวที่มีขนาดใหญ่ขึ้น

2.2.1 การเกิดนิวเคลียชนในการเปลี่ยนสถานะ

โดยทั่วไปการเปลี่ยนสถานะ (phase transition) จะเกิดอย่างช้าๆ ที่อุณหภูมิสูงคุณจะพิจารณาการเกิดนิวเคลียชน โดยนิยามให้ T_c เป็น อุณหภูมิของการเปลี่ยนสถานะ (transition temperature) เป็นอุณหภูมิที่ห้องสถานะมีพลังงานอิสระเท่ากัน ณ อุณหภูมิ T_c นี้อาจจะเกิดขึ้นขณะที่ให้ความร้อนแก่สารเพื่อให้สารอยู่ในสถานะที่มีอุณหภูมิสูง หรือขณะที่สารเย็นตัวลงเพื่อให้สารอยู่ในสถานะที่มีอุณหภูมิต่ำ ในช่วงก่อนที่จะเกิดสถานะใหม่นั้นค่าแห่งของอะตอมห้องน้ำจะห้องสอดคล้องกับค่าแห่งของอะตอมในสถานะเดิม การเกิดสถานะใหม่นั้นเกิดจาก การกระเพื่อมชั้น (fluctuation) เมื่อจากการเปลี่ยนแปลงความร้อนซึ่งจะทำให้อะตอมไปอยู่ณ ค่าแห่งใหม่ ซึ่งสอดคล้องกับสถานะใหม่ การกระเพื่อมชั้นเหล่านี้ไม่เสถียร เมื่อจากนิวเคลียโนมีขนาดน้อยกว่าขนาดวิกฤต ซึ่งทำให้ค่าพลังงานอิสระเพิ่มขึ้น บริเวณที่ไม่เสถียรนี้เรียกว่า เอ็มบราโอ (embryo) ของสถานะใหม่ เมื่อออเอ็มบราโอ โตขึ้นเรื่อยๆ จนมีขนาดใหญ่กว่าขนาดวิกฤต จะเรียกว่า นิวเคลีย (nuclei) ขบวนการเกิดนิวเคลียเรียกว่า นิวเคลียชน (nucleation) การเจริญเติบโต (growth) ของนิวเคลียโดยเป็นการทำให้อะตอมของสถานะเดิมที่บริเวณรอยต่อสถานะ (interface) ไปอยู่บนนิวเคลียของสถานะใหม่

2.2.2 ขนาดวิกฤตของนิวเคลีย (critical size of nuclei)

ขนาดวิกฤตของนิวเคลีย คือขนาดของนิวเคลียที่เล็กที่สุดที่สามารถเจริญเติบโตเป็นผลึกได้ การเกิดนิวเคลียในของแข็งที่อุณหภูมิการเปลี่ยนสถานะ (transition temperature) เกิดจาก การกระเพื่อมของความร้อน สมมุติว่าค่าปริมาตรเฉพาะ (specific volume) ของสถานะเดิมและ สถานะใหม่ไม่แตกต่างกัน จะทำให้ไม่มีความเครียด (no strain) ที่ระหว่างรอยต่อสถานะ ถ้าให้ γ เป็นพลังงานระหว่างรอยต่อสถานะซึ่งไม่ขึ้นกับทิศทางของผลึก เราจะหาอัตราการเกิดนิวเคลียชนจากการเปลี่ยนแปลงของพลังงานอิสระ (ΔG) เมื่อจากการเกิดนิวเคลียของทรงกลม (spherical nuclei) มีค่าพลังงานอิสระตามสมการ

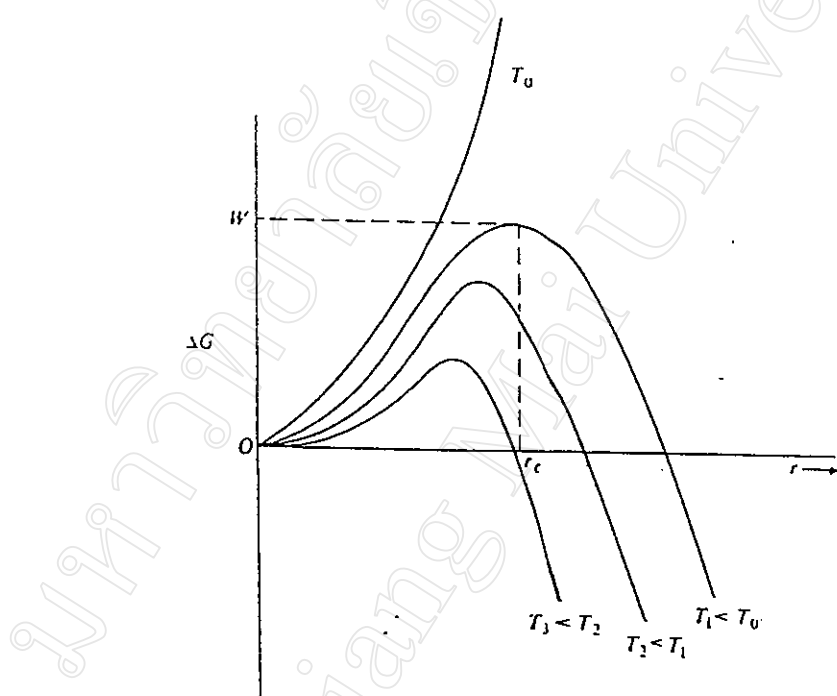
$$\Delta G = -\frac{4\pi r^3 \Delta G_v}{3} + 4\pi r^2 \gamma \quad (2.1)$$

ΔG คือการลดลงของพลังงานอิสระของก้อนสารต่อหนึ่งหน่วยปริมาตร

γ คือการเพิ่มของพลังงานอิสระต่อหนึ่งหน่วยพื้นที่

r คือรัศมีของนิวเคลีย

ถ้าค่า r มีค่าน้อยๆแล้วก่อนที่ 2 จะมีความสำคัญทำให้การเปลี่ยนแปลงของพลังงานอิสระมีค่าสูงขึ้นตามรัศมี r ทำให้นิวเคลียไม่เสถียร ถ้านิวเคลียเริ่มต้นมีขนาดวิกฤติค่าวิรัศมี r_c คือค่าวิรัศมีน้อยที่สุดที่เอ็นบริโภคสามารถเริ่มต้นได้แล้ว ค่า ΔG จะเริ่มลดลงทำให้เกิดการเปลี่ยนสถานะ นิวเคลียจะเริ่มต้นได้ต่อไปได้ ดังแสดงในรูปที่ 2.1 พิจารณาที่ transition temperature(T_0) การเปลี่ยนแปลงของพลังงานอิสระจะเพิ่มขึ้นอย่างต่อเนื่องและไม่ลดลงทำให้นิวเคลียนิรัศมีน้อยกว่าวิรัศมีวิกฤติ ดังนั้นที่ transition temperature เอ็นบริโภคไม่สามารถเริ่มต้นได้เป็นผลลัพธ์ และไม่เกิดการเปลี่ยนแปลงสถานะ แต่ถ้ามีการลดหรือเพิ่มของอุณหภูมิเล็กน้อยจะทำให้เกิดการเปลี่ยนแปลงสถานะได้



รูปที่ 2.1 ความสัมพันธ์ระหว่างพลังงานอิสระกับรัศมีของนิวเคลีย

ถ้าให้ r_c เป็นรัศมีวิกฤต (critical radius) ซึ่งเรียกว่า ขนาดวิกฤตของนิวเคลียส (critical nucleus size) และ ΔG_c เป็นพลังงานอิสระต่ำกว่าเกินวิกฤต (critical excess free energy) ที่อุณหภูมิ transition temperature ไม่มีการเปลี่ยนแปลงพลังงานอิสระหาก r_c และ ΔG_c ได้จาก การให้

$$\frac{\partial \Delta G}{\partial r} = 0 \quad (2.2)$$

ดังนั้น $\frac{\partial \Delta G}{\partial r} = -4\pi r^2 \Delta G_v + 8\pi r\gamma = 0$

จะได้ $r_c = \frac{2\gamma}{\Delta G_v}$ (2.3)

แทนค่า r ในสมการที่ (2.1) ด้วย r_c ในสมการที่ 2.3 จะได้

$$\Delta G_c = \frac{16\pi\gamma^3}{3\Delta G_v^2} \quad \text{.} \quad (2.4)$$

จากราฟเมื่อ $T = T_0$ และ $r = r_c$ จะเห็นว่า $\Delta G_c = \infty$ ดังนั้นเมื่อ $T = T_0$ จึงไม่เกิดนิวเคลียสที่เสถียรแต่ถ้าอุณหภูมิลดลงจาก T_0 เล็กน้อยจะทำให้เกิดนิวเคลียสที่เสถียรได้

2.3 การวิเคราะห์โครงสร้างโดยวิธี X-ray diffraction (XRD) ⁽¹³⁾

การวิเคราะห์โครงสร้างของวิสเกอร์ MoO_3 ที่ได้จากการทดลองโดยวิธีการเตี้ยวัตถุรังสีเอกซ์ทำได้โดยการนำวิสเกอร์ที่เตรียมได้มาบดให้ละเอียด แล้วนำไปวิเคราะห์โดยใช้เครื่อง x-ray diffractrometer ที่ใช้รังสีเอกซ์ที่เกิดจากเป้าทองแดงชนิด $\text{Cu} - \text{K}\alpha$ ความยาวคลื่น 1.540 \AA ชี้ทำมุมแปรราก (Bragg's angle) กับผิวของ sample แล้วด้วยความเห็นของรังสีเอกซ์ที่เลี้ยวเบนออกจาก sample ณ ตำแหน่งมุมแปรรากค่าต่างๆ จะได้กราฟระหว่างความเห็นของรังสีเลี้ยวเบนกับมุมแปรราก เราจะนำตำแหน่งของมุมแปรรากที่ก่อให้เกิด diffraction peak ไปคำนวณค่าระยะระหว่างระนาบ (d) และ lattice parameter (a, b, c) และ โครงสร้างของผลึก โดยใช้กฎของแปรราก (Bragg's law) คือ

$$2d_{\text{hh}} \sin \theta = \lambda \quad d_{\text{hh}} = \frac{\lambda}{2 \sin \theta} \quad (2.5)$$

เมื่อ λ คือความยาวคลื่นของรังสีเอกซ์มีค่าเท่ากับ 1.540 \AA

θ คือมุมแปรราก (Bragg's angle)

และความสัมพันธ์ระหว่างระยะห่างระหว่างระนาบ กับ พารามิเตอร์แผลตทิช เมื่อโครงสร้างเป็นแบบออร์โธอมบิกคือ

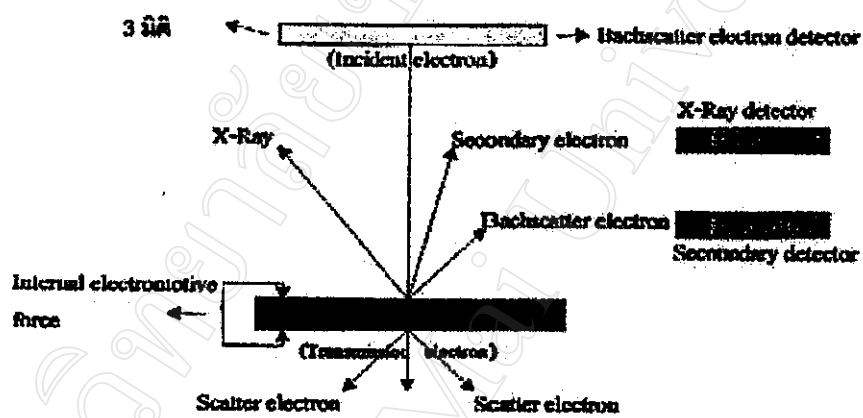
$$d_{\text{hh}} = \frac{1}{\sqrt{\frac{h^2}{a^2} + \frac{k^2}{b^2} + \frac{l^2}{c^2}}} \quad (2.6)$$

เมื่อ h, k, l คือ ตัวนิมิตเลขของระนาบ (Miller's indices)

a,b,c คือ ค่าคงที่แล็ตทิซ (lattice parameter)

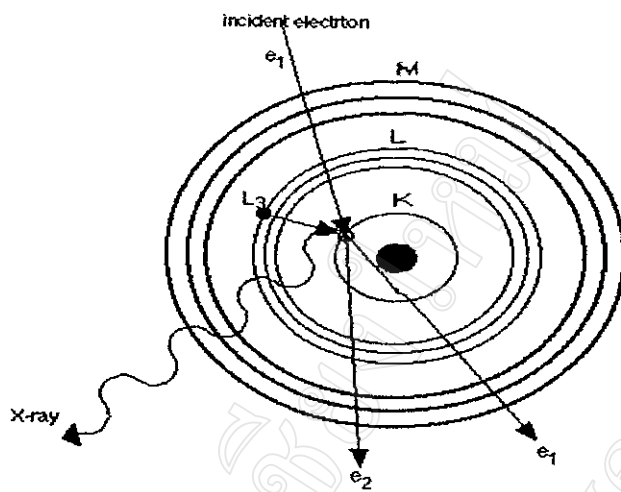
2.4 การวิเคราะห์องค์ประกอบโดยวิธี Energy dispersive spectrometry (EDS)⁽¹⁷⁾

วิธี Energy dispersive spectrometry (EDS) เป็นวิธีการวิเคราะห์ชนิดของธาตุที่เป็นองค์ประกอบของสารจากส่วนของการรับรู้พลังงานของรังสีเอกซ์จากธาตุที่เป็นองค์ประกอบในสาร การกระชุนให้เกิดรังสีเอกซ์ทำได้โดยการยิงลำอิเล็กตรอนที่มีพลังงานสูงให้ตกรอบพื้นผิวของสารดังรูปที่ 2.2



รูปที่ 2.2 แสดงการวิเคราะห์ธาตุที่เป็นองค์ประกอบของสาร โดยวิธี EDS

อิเล็กตรอนเหล่านี้จะพุ่งชนอิเล็กตรอนที่อยู่ในวง โคจรของอะตอมที่เป็นองค์ประกอบ ทำให้ อิเล็กตรอนที่อยู่ในวง โคจรมหุคจากวง โคจรออกไป แล้วอิเล็กตรอนที่อยู่ในวง โคจรที่ถูกดึงออกไปจะ เข้ามาแทนที่อิเล็กตรอนที่หลุดจากวง โคจร โดยจะพยายามออกมาในรูปของรังสีเอกซ์ ดังรูปที่ 2.3



รูปที่ 2.3 แสดงการเกิดรังสีเอกซ์จากอะตอมของธาตุที่เป็นองค์ประกอบของสสาร

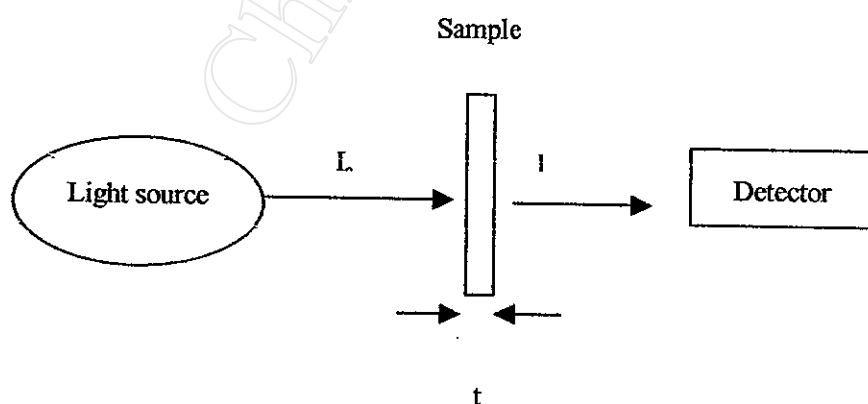
เมื่อนำเอาหัววัดความเข้มและพลังงานของรังสีเอกซ์ที่เกิดขึ้นดังรูปที่ 2.2 แล้วเขียนกราฟแสดงความสัมพันธ์ระหว่างความเข้มของรังสีเอกซ์กับพลังงานของรังสีเอกซ์จะได้สเปกตรัมการกระจายพลังงานของรังสีเอกซ์ การแยกแยะรัฐนิคของธาตุต่างๆ ทำได้โดยการพิจารณาค่าพลังงานของพีกการกระจายพลังงานของรังสีเอกซ์ว่าเป็นรังสีเอกซ์ชนิดใดและเกิดจากธาตุอะไร เพราะพลังงานของรังสีเอกซ์แต่ละชนิดของแต่ละธาตุจะมีค่าที่แน่นอนเพียงค่าเดียวเท่านั้น เช่น ไม่ใช่ดินน้ำ และออกซิเจน จะมีค่าพลังงานของรังสีเอกซ์แต่ละชนิดดังตารางที่ 2.1

ตารางที่ 2.1 แสดงค่าพลังงานของรังสีเอ็กซ์ที่ได้จากออกซิเจนและโมลิบเดียม⁽¹⁷⁾

ธาตุ	ชนิด	พลังงาน (KeV)
O	K _{α1}	0.525
Mo	K _{α2}	17.479
	K _β	17.374
	L _{α1}	19.608
	L _{α2}	2.293
	L _{β1}	2.289
	L _{β2}	2.395
	L _γ	2.518
	L _γ	2.623

2.5 การหาค่าของ energy gap โดยวิธี UV- visible transmission spectrometry

การหาค่าของ energy gap โดยวิธี UV- visible transmission spectrometry^(18,19) ทำได้โดยใช้เครื่องมือ UV-visible spectrophotometer โดยการให้แสงที่มีค่าความยาวคลื่นต่างๆ ในช่วง UV ถึง visible ตกกระทบ sample ที่มีลักษณะ โปร่งแสง แล้ววัดความเข้มแสงที่หล่อผ่าน sample เพื่อบอกว่าความเข้มของแสงคงกระพันคงรูปที่ 2.4



รูปที่ 2.4 แสดงแผนผังระบบที่ใช้ในการวัดスペกตรัมของการส่งผ่าน

2.5.1 UV-visible transmission spectrum

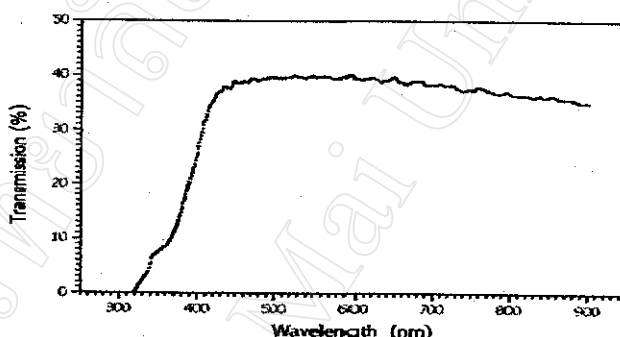
UV-visible transmission spectrum คือความสัมพันธ์ระหว่าง transmission % กับความยาวคลื่นของแสงดังรูป ที่ 2.5 ซึ่งคิดจากอัตราส่วนระหว่างความเข้มแสงส่องผ่านกับความเข้มแสงทดสอบทบทดลองการสมการ

$$T(\%) = \frac{I}{I_0} \times 100 \% \quad (2.7)$$

เมื่อ I คือความเข้มแสงส่องผ่าน

I_0 คือความเข้มแสงทดสอบ

แล้วสร้างกราฟระหว่าง transmission % กับความยาวคลื่นดังรูปที่ 2.5



รูปที่ 2.5 กราฟระหว่าง transmission (%) กับ ความยาวคลื่นของวิสเกอร์ MoO_3

ความเข้มของแสงส่องผ่าน(I) มีความสัมพันธ์กับความเข้มแสงที่ทดสอบ(I_0) ดังสมการ

$$I = I_0 e^{-\alpha t} \quad (2.8)$$

เมื่อ α คือ สัมประสิทธิ์การดูดกลืน(absorption coefficient)

t คือความหนาของ sample

การส่องผ่าน (transmission , T) คืออัตราส่วนระหว่างความเข้มแสงส่องผ่านกับความเข้มแสงทดสอบจะได้

$$T = \frac{I}{I_0} = e^{-\alpha t} \quad (2.9)$$

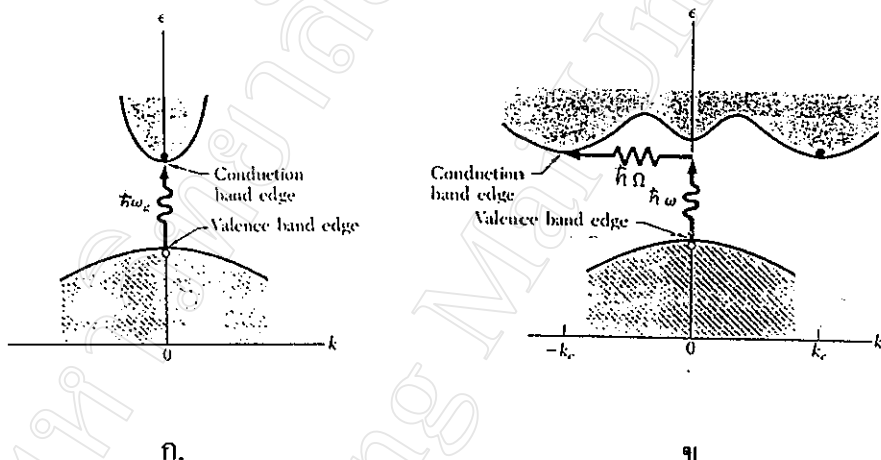
จะได้ความสัมพันธ์ระหว่างสัมประสิทธิ์การดูดกลืนกับ การส่งผ่านดังนี้

$$\alpha = \frac{1}{t} (\ln \frac{1}{T}) \quad (2.10)$$

ซึ่งสัมประสิทธิ์การดูดกลืนมีความสัมพันธ์กับ Energy gap ของสารกึ่งตัวนำดังจะได้กล่าวถึงในหัวข้อต่อไปใน 2.5.2

2.5.2 ความสัมพันธ์ระหว่าง absorption coefficient กับ energy gap ของสารกึ่งตัวนำ

สารกึ่งตัวนำแบ่งได้ 2 ชนิดตามลักษณะของແນບພลังงานคือ สารกึ่งตัวนำชนิด direct band gap และสารกึ่งตัวนำชนิด indirect band gap semiconductor ดังรูปที่ 2.6



รูปที่ 2.6 แสดงลักษณะของແນບພลังงานของสารกึ่งตัวนำ

a. Direct band gap b. Indirect band gap

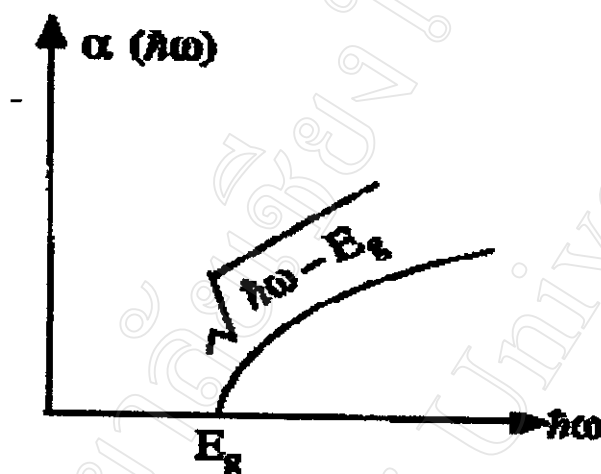
ในสารกึ่งตัวนำแบบ direct band gap จะสูงสุดของແນບເວລັນຊ່າງຕໍ່ຕະຫຼາດກັບບຸດຕໍ່ສູດຂອງແນບການນຳພອດຕື່ມື້ອນໄຟຄອນທີ່ມີພລັງຈານນາກກວ່າຫຼືອເທົ່າກັນ energy gap ດັກກະທບພື້ນພິວເມື່ອເກົ່າກວາມໃນແນບວາເຕັນຊ່າງຕະຫຼາດກັບບຸດຕໍ່ສູດຂອງພລັງຈານຈາກໄຟຄອນແລ້ວມີຢືນຄວາມໄປອໝ່າໃນແນບການນຳໄດ້ໂດຍຄຽງຕັງຮູບທີ່ 2.6 ก. ความสัมพันธ์ระหว่างสัมประสิทธิ์การดູດກືນກັບແນບພລັງຈານຈະນີ້ ความสัมພັນຮັບເປັນຮູບພາຣາໂບລາດັງຮູບທີ່ 2.7 ຄວາມສົນການ

$$\alpha h\nu = A \sqrt{h\nu - E_g} \quad (2.11)$$

เมื่อ h คือ ค่าคงที่ของแพลงค์

ν คือ ความถี่ของคลื่นแสง

A คือ ค่าคงที่



รูปที่ 2.7 กราฟแสดงความสัมพันธ์ระหว่างพลังงานของไฟฟ่อนกับสัมประสิทธิ์การคุคกเลินของสารกึ่งตัวนำชนิด direct band gap

สำหรับสารกึ่งตัวนำชนิด indirect band gap จุดสูงสุดของແຄນເວເລັນຊື່ໄຟຮັດກັນກັບຈຸດຕໍ່ສຸດຂອງແຄນການນຳ ເມື່ອນີ້ໄຟຄອນທີ່ມີພລັງງານນາກກວ່າຫຼືເທົ່າກັບ energy gap ດກກະທບພື້ນຜິວເມື່ອອີເດີກໂຮຣນ ໃນແຄນວາເລັນຊື່ຂະໜຸດກັດ໌ພລັງງານຈາກໄຟຄອນແລ້ວຈະໄຟສາມາດປັບປຸງສະຖານະໄປອູ້ໃນທີ່ຈຸດຕໍ່ສຸດຂອງແຄນການນຳໄດ້ໄລຍ່ອງຮັງ ງັງຕ້ອງຂະໜຸດກັດ໌ພລັງງານຈາກໄຟນອນຄວນຈຸດກັນໄປກັບການຈຸດກັດ໌ພລັງງານຈາກໄຟຄອນເພື່ອໄຟສາມາດປັບປຸງສະຖານະໄປສູ່ແຄນການນຳໄດ້ດັ່ງຮູບທີ່ 2.6 ຂ. ຈຶ່ງພວກວ່າຄວາມສັນພັນຮະຫວ່າງສັນປະສິທິກິດກັດ໌ພລັງງານຈາກໄຟນອນຄວນຈຸດກັນ energy gap (E_g) ແລ້ວ ບຣິວັດ absorption edge (ພລັງງານຂອງໄຟຄອນເທົ່າກັບ energy gap ⁽¹⁾) ມີລັກຍະດັ່ງຮູບທີ່ 2.8 ຈຶ່ງເປັນໄປຕານສົມກາຣ

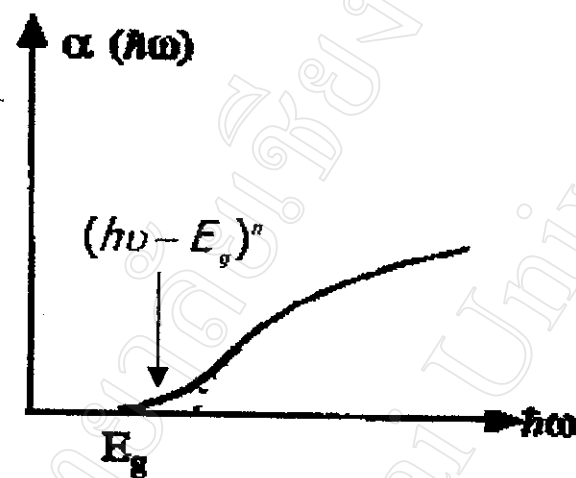
$$\alpha h\nu = B(h\nu - E_g)^n \quad (2.12)$$

เมื่อ h คือ ค่าคงที่ของแพลนค์

ν คือ ความถี่ของคลื่นแสง

B คือ ค่าคงที่

n คือ characteristic number ของการส่งผ่าน



รูปที่ 2.8 กราฟแสดงความสัมพันธ์ระหว่างพลังงานของไฟคอนกับสัมประสิทธิ์การดูดกลืนของสารกึ่งตัวนำชนิด indirect band gap

$$\text{ให้ } Y = \alpha h\nu \text{ และ } Y' = \frac{dY}{d\hbar\nu}$$

$$\text{จะได้ } \frac{Y}{Y'} = \frac{(\hbar\nu - E_g)}{n} \quad (2.13)$$

จากความสัมพันธ์นี้เราสามารถนำไปหาค่า energy gap จากจุดตัดแกน x ของกราฟระหว่าง $\frac{Y}{Y'}$ กับ $\hbar\nu$ ได้

2.6 สมบัติการตรวจวัดก้าชของสารประกอบโลหะออกไซด์

หัววัดก้าชที่มีตัวตรวจวัดทำด้วยสารประกอบ โลหะออกไซด์⁽³⁾ เช่น SnO_2 , TiO_2 , ZnO , Ta_2O_5 , WO_3 , NiO_2 และ MoO_3 มีลักษณะเป็นเป็น surface defect effect conductometric sensor มักจะอยู่ในรูปของ ฟิล์มบาง ผลึกเรցเดียว และ เซรามิก ซึ่งมีการเปลี่ยนแปลงของสภาพนำไฟฟ้าตามความเข้มข้นก้าชที่ตรวจวัด

ปัจจัยสำคัญที่ทำให้เกิดการตรวจวัดก้าชคือการทำปฏิกริยาระหว่างก้าชที่ผ่านเข้ามา กับ oxygen vacancies ในหัววัด โดยเฉพาะที่บริเวณ grain boundary และพื้นผิวของหัววัด ตัวที่จะช่วยเร่งให้เกิดปฏิกริยาได้ง่ายคืออุณหภูมิที่สูงขึ้นของหัววัด

เมื่อสารประกอบ โลหะออกไซด์มี surface defect เช่น oxygen vacancies จะทำให้เกิดกำแพงศักย์ ขัดขวางการนำไฟฟ้าที่ผ่านเข้ามาของสารประกอบ โลหะออกไซด์ ส่งผลให้สภาพนำไฟฟ้าขึ้นกับขนาดของกำแพงศักย์ดังสมการ^(6,20-21)

$$\sigma = \sigma_0 \exp\left(-\frac{qV_s}{k_B T}\right) \quad (2.14)$$

เมื่อ σ คือ สภาพนำไฟฟ้า

σ_0 คือ ค่าคงที่

V_s คือ ขนาดของกำแพงศักย์

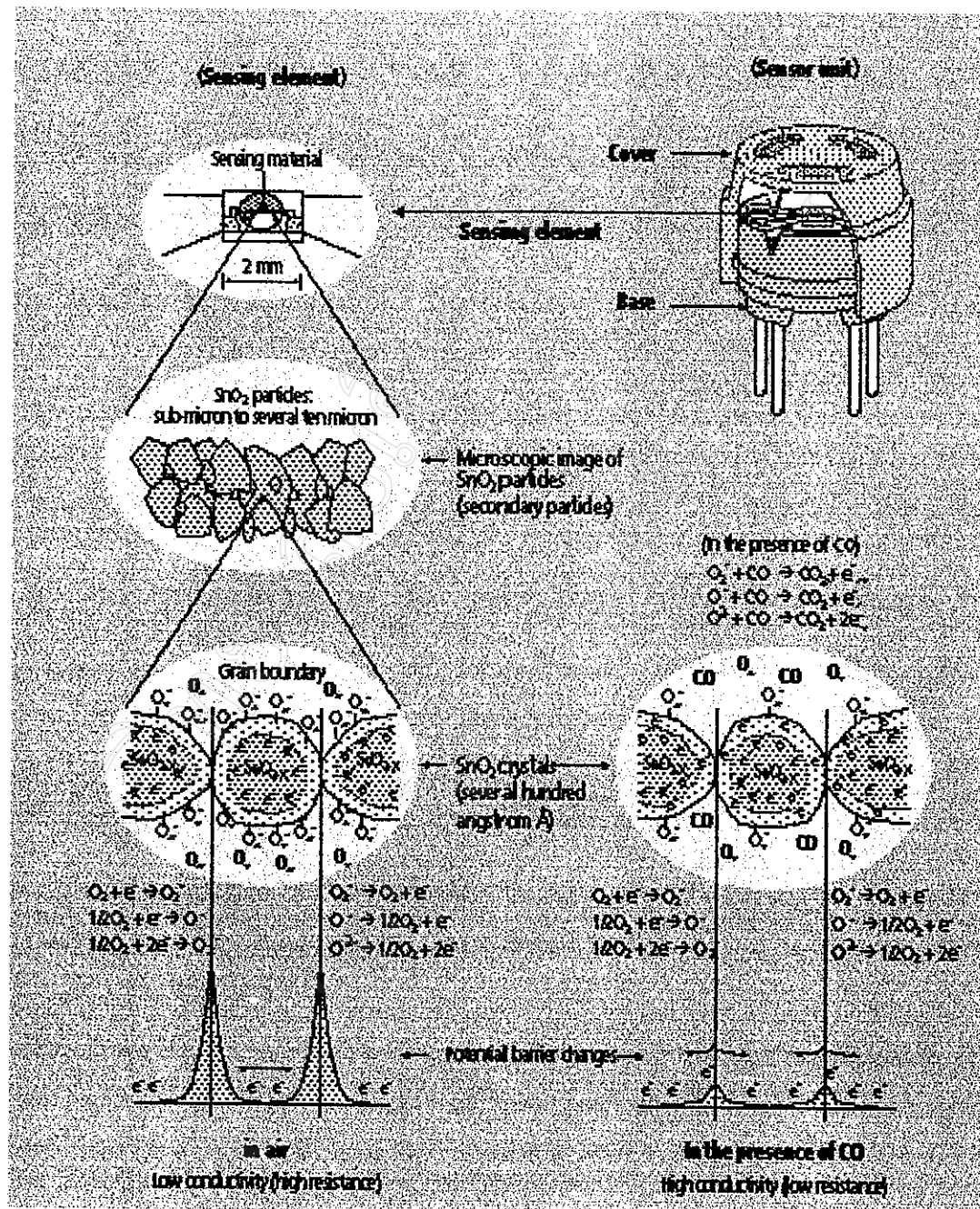
q คือ ประจุไฟฟ้าของพาหะ

การตรวจวัดก้าชของสารประกอบ โลหะออกไซด์ เกิดขึ้นจากการมี oxygen vacancies ในโครงผลึกเมื่อสารประกอบ โลหะออกไซด์มีอุณหภูมิสูงขึ้นก้าชออกซิเจน(O_2)ในอากาศจะเข้ามายึดติดกับ oxygen vacancies โดยการดึงเอาอิเล็กตรอนจากบริเวณที่พื้นผิวของสารประกอบ โลหะออกไซด์ แล้วแทรกตัวเป็นอิオนลบ (O^- หรือ O^{2-}) ดังสมการ^(6,20-21)



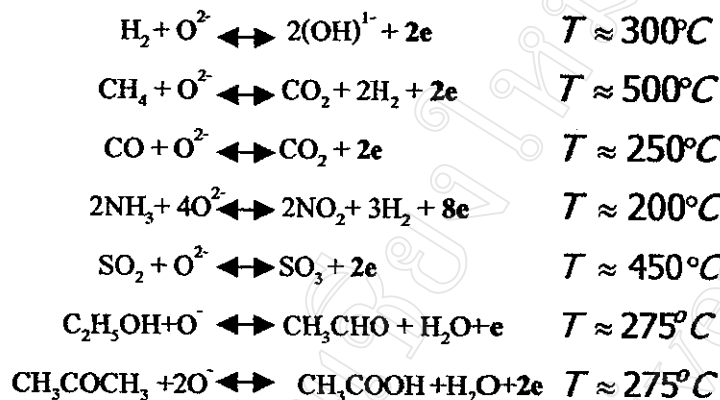
หากน้ำอิオนลบจะเข้ามายึดติดที่พื้นผิวของสารประกอบ โลหะออกไซด์ในบริเวณที่มี oxygen vacancies

การดึงเอาอิเล็กตรอนนี้จะทำให้เกิดบริเวณปลดประจุ (depletion region) ขึ้นบนพื้นผิวของสารประกอบ โลหะออกไซด์ทำให้เกิดกำแพงศักย์บริเวณพื้นผิวสูงขึ้นซึ่งจะขัดขวางการนำไฟฟ้า ดังรูปที่ 2.9 ทำให้สภาพนำไฟฟ้ามีค่าต่ำลงเป็น σ_s (สภาพนำไฟฟ้าของสารประกอบ โลหะออกไซด์เมื่อเกิดการยึดติดของอกรซิเจนจากบรรยายกาศ)



รูปที่ 2.9 แสดงลักษณะของกำแพงศักย์บวช *grain boundary* และพื้นผิว มีการเกิดการยึดติดของออกซิเจน และหลังจากที่กําชีญมาทำปฏิกิริยากับออกซิเจนอ่อนແล้า (²⁰)

เมื่อมีกําชเช้านามบริเวณพื้นผิวของสารประกอบโลหะออกไซด์ กําชจะแพร่กระจายเข้าไปรวมตัวกับออกซิเจนอิอนที่ยึดติดอยู่ที่บันพื้นผิวของสารประกอบโลหะออกไซด์เกิดเป็นกําชชนิดใหม่แล้ว คายอิเล็กตรอนออกมายังกําชพิวน้ำของสารประกอบโลหะออกไซด์ เช่น



โดยที่อัตราการเกิดปฏิกิริยานี้จะขึ้นกับอุณหภูมิ กําชแต่ละชนิดจะเกิดปฏิกิริยาได้ที่อุณหภูมิช่วงหนึ่งเท่านั้น ทำให้ depletion region แคนลง และกำลังแพลงค์กายบริเวณพื้นผิวลดลงดังรูปที่ 2.9 ทำให้การนำไฟฟ้าที่พื้นผิวของสารประกอบโลหะออกไซด์เพิ่มขึ้นเป็น σ_g (สภาพนำไฟฟ้าเมื่อมีกําชเข้ามาทำปฏิกิริยากับออกซิเจนที่ยึดติดกับพื้นผิวของสารประกอบโลหะออกไซด์)

และพบว่าขนาดของกำลังค์กายและความเข้มข้นของกําชมีความสัมพันธ์ดังสมการ⁽²¹⁾

$$\exp\left(-\frac{qV_s}{k_B T}\right) \propto C^{-m} \quad (2.15)$$

เมื่อ C คือความเข้มข้นของกําชในหน่วยเปอร์เซนต์โดยปริมาตร หรือ ในหน่วย ppm

m คือ characteristic parameter ของกําชซึ่งขึ้นอยู่กับชนิดของกําช

ดังนั้นจากสมการที่ (2.14) และ (2.15) จะได้ความสัมพันธ์ระหว่าง σ_g กับ σ_a เป็นดังสมการ

$$\sigma_g = \sigma_a a C^m \quad (2.16)$$

เมื่อ a คือค่าคงที่ของการแปรผันรึ่งขึ้นอยู่กับชนิดของกําช

แล้วถ้ามองในแง่ของสภาพต้านทานไฟฟ้า(ρ) จะได้

$$\rho_g = \rho_a \left(\frac{1}{a}\right) C^{-m} \quad (2.17)$$

สกัดไว (sensitivity , S) ⁽²⁰⁻²²⁾

เป็นตัวแปรที่สำคัญในการวัดความเพิ่มขึ้นของก๊าซที่แสดงถึงอัตราการเปลี่ยนแปลงของความด้านท่านไฟฟ้าของสารประกอบโลหะออกไซด์เมื่อได้รับก๊าซชีสั่นนิยามว่า

$$S = \frac{\sigma_g}{\sigma_a} = \frac{\rho_a}{\rho_g} \quad (2.18)$$

จากสมการที่ (2.18) และ (2.19) ความสัมพันธ์ระหว่าง ความไว กับ ความเพิ่มขึ้นของก๊าซคือ

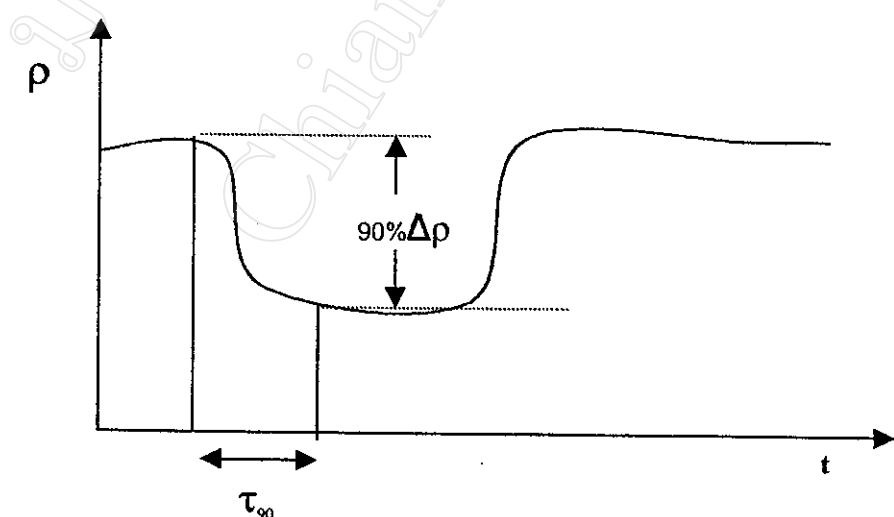
$$S = aC^m \quad (2.19)$$

เป็นสมการที่ใช้ในการperc่าจากความไวเป็นความเพิ่มขึ้นของก๊าซ

เวลาการตอบสนอง (response time , T_{90}) ⁽⁵⁻⁶⁾

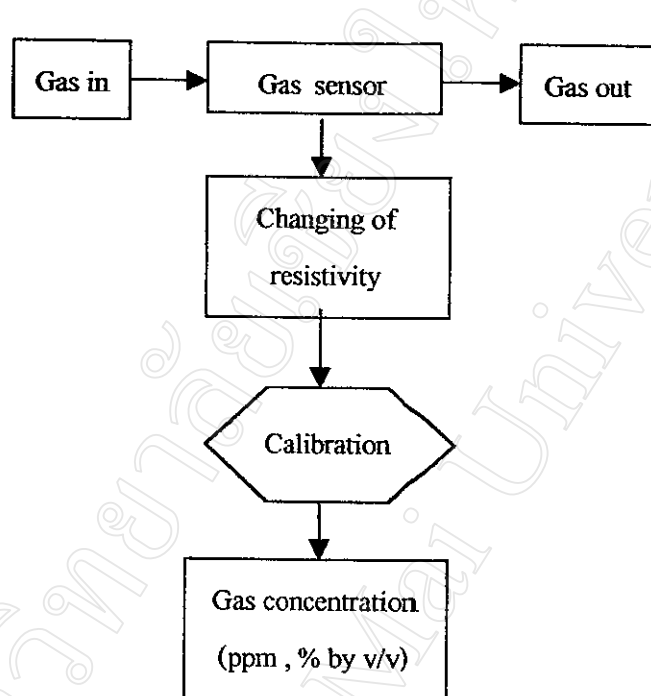
เป็นตัวแปรที่แสดงถึงความรวดเร็วในการตอบสนองกับก๊าซ

เมื่อสารประกอบโลหะออกไซด์เกิดปฏิกิริยาเคมีกับก๊าซสกัดด้านท่านไฟฟ้าจะเปลี่ยนแปลงตามเวลา(transient response) อยู่ครู่หนึ่งแล้วจะคงที่กับเวลา(steady state response) เวลาที่มีการเปลี่ยนแปลงของสกัดด้านท่านไฟฟ้าจนมีค่าเป็น 90 % ของผลต่างระหว่างสกัดด้านท่านไฟฟ้าเดิมที่กับสกัดด้านท่านไฟฟ้าที่คงที่กับเวลา ว่าเวลาการตอบสนองซึ่งแสดงดังรูปที่ 2.10



รูปที่ 2.10 แสดงการหาค่าเวลาการตอบสนอง

สามารถสรุปหลักการทำงานของหัววัดกําชีวนิคสารประกอบโลหะออกไซด์ได้ดังแผนภาพ



รูปที่ 2.11 แผนผังแสดงหลักการทำงานของหัววัดกําชีวที่ทำจากสารประกอบโลหะออกไซด์